
Numéroter une liste de productions dans Word

Contexte

Les dossiers d'évaluation demandés par le Haut Conseil de l'évaluation de la recherche et de l'enseignement supérieur (HCERES) comportent une annexe, au format Word, dans laquelle les listes de publications des unités de recherche doivent être restituées selon des critères précis.

Parmi ces critères figurent l'agencement du signalement des productions les unes par rapport aux autres ainsi que la numérotation séquentielle de celles-ci.

Objectif

Cette fiche pratique se focalise sur une proposition de méthodologie qui pourra être mise en œuvre pour numéroter une liste de productions qui aura été importée ou enregistrée dans un fichier sous Word.

Pré-requis

La liste des productions qui devra être numérotée est, de préférence, déjà ordonnée selon l'agencement définitif. Néanmoins quelques réajustements ponctuels pourront être réalisés.

Lorsque la liste des productions résulte d'un export réalisé à partir

- ✓ d'une base de données gérée à l'aide d'un logiciel de gestion de données bibliographiques (EndNote ou Zotero, par exemple) ou
- ✓ d'un fichier sous Excel - par exemple, après la mise œuvre de la procédure décrite dans la fiche méthodologique 'Editer une liste de références bibliographiques à partir d'Excel - Fonction Publipostage Word' –

il est vivement recommandé d'agencer la séquence de la liste des productions, au plus tard, au moment de l'export vers le fichier au format Word.

Avertissement

La liste de productions prise en exemple dans cette fiche méthodologique est une pure fiction.

Etape 1 : Import de la liste des productions sous Word et vérifications

Immédiatement après import et sauvegarde au format Word, s'assurer que les "espaces" présents après les titres, les sous-titres et les sauts de paragraphes résultent exclusivement du paramétrage du style employé sous Word.

Si votre fichier Word se présente comme cela :

Articles de revues à facteur d'impact

2019

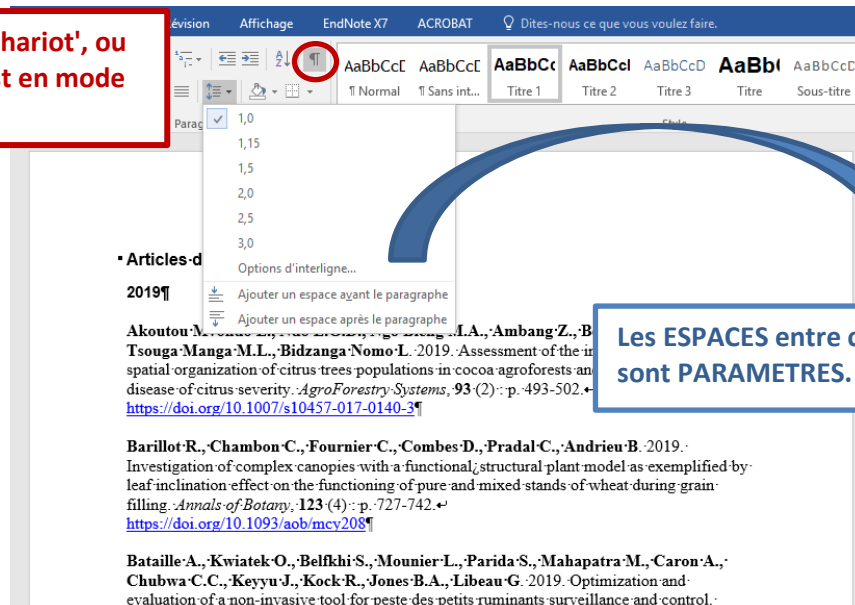
Akoutou Mvondo E., Ndo E.G.D., Ngo Bieng M.A., Ambang Z., Bella Manga, Cilas C., Tsouga Manga M.L., Bidzanga Nomo L. 2019. Assessment of the interaction between the spatial organization of citrus trees populations in cocoa agroforests and *Phytophthora* foot rot disease of citrus severity. *AgroForestry Systems*, 93 (2) : p. 493-502.
<https://doi.org/10.1007/s10457-017-0140-3>

Barillot R., Chambon C., Fournier C., Combes D., Pradal C., Andrieu B. 2019. Investigation of complex canopies with a functional structural plant model as exemplified by leaf inclination effect on the functioning of pure and mixed stands of wheat during grain filling. *Annals of Botany*, 123 (4) : p. 727-742.
<https://doi.org/10.1093/aob/mcy208>

Bataille A., Kwiatek O., Belfkhi S., Mounier L., Parida S., Mahapatra M., Caron A., Chubwa C.C., Keyyu J., Kock R., Jones B.A., Libeau G. 2019. Optimization and

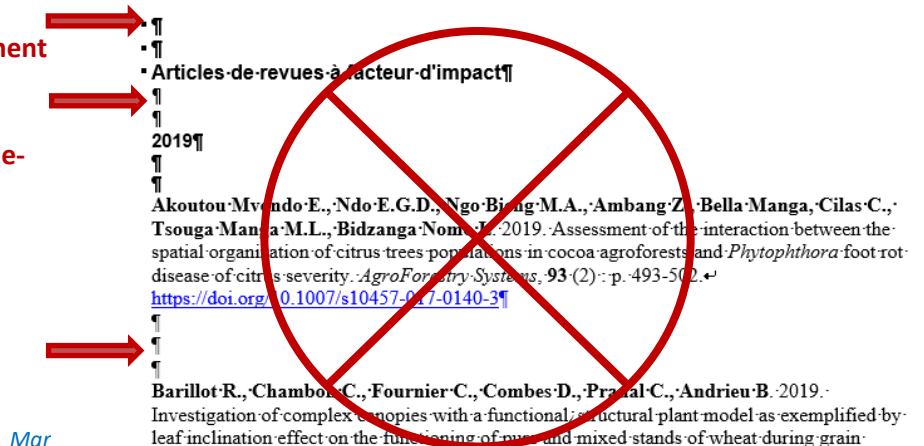
La situation est correcte lorsque les symboles de changement de paragraphes sont isolés :

Le symbole 'retour-chariot', ou 'pied de mouche', est en mode surbrillance.



Les ESPACES entre chaque paragraphe sont PARAMETRES.

Lorsque des symboles de changement de paragraphes se succèdent il est impératif de réaliser une succession d'opérations "recherche-replace" pour supprimer les multiples caractères de changement de paragraphes :



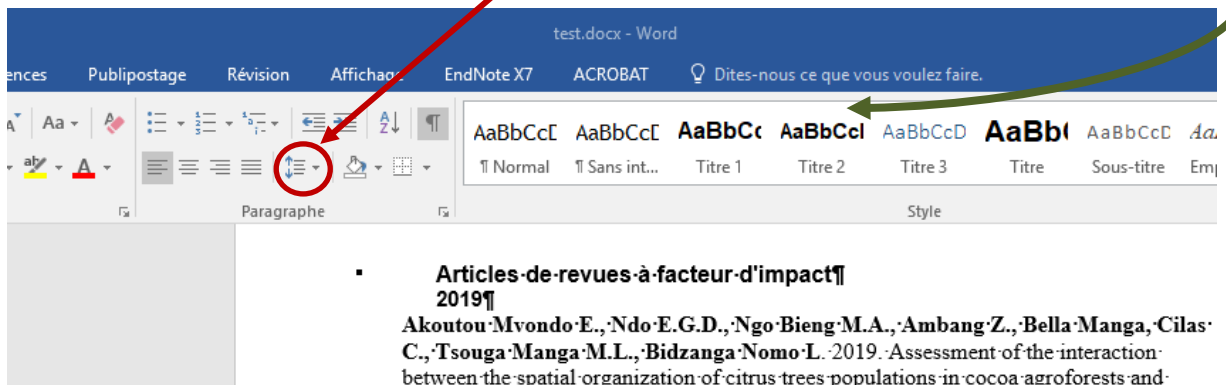
Mar

Cette opération Recherche-Remplace doit être effectuée sur l'ensemble du fichier et jusqu'à obtention du message "Nous avons effectué 0 remplacements :



Les espacements entre les paragraphes sont obtenus en intervenant

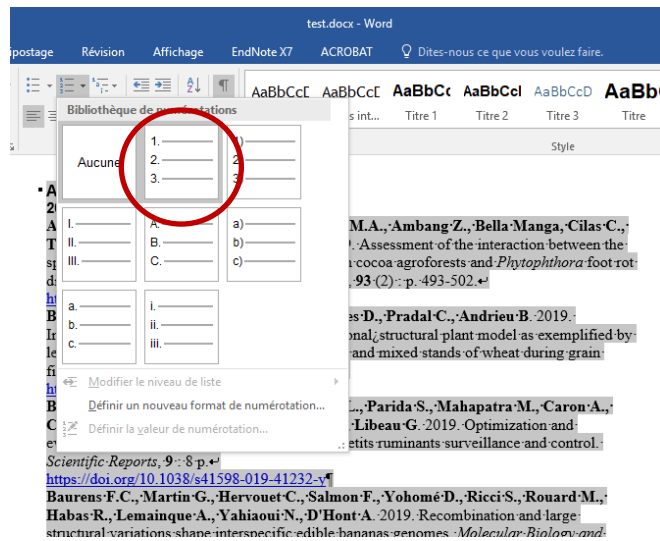
- ✓ sur le paramètre "paragraphe" dans chaque type de style, ou
- ✓ sur la touche de raccourcis "Interligne et espacement de paragraphe"



Etape 2 : Numérotation

- ✓ Sélectionner la TOTALITE du texte importé, et
- ✓ Appliquer la numérotation souhaitée.

Dans notre exemple, la numérotation la plus simple a été retenue



1. → **Articles de revues à facteur d'impact**
2. → **2019**
3. → Akoutou Mvondo E., Ndo E.G.D., Ngo Bieng M.A., Ambang Z., Bella Manga, Cilas C., Tsouga Manga M.L., Bidzanga Nomo L. 2019. Assessment of the interaction between the spatial organization of citrus trees populations in cocoa agroforests and *Phytophthora* foot rot disease of citrus severity. *AgroForestry Systems*, 93 (2) : p. 493-502. <https://doi.org/10.1007/s10457-017-0140-3>
4. → Barillot R., Chambon C., Fournier C., Combes D., Pradal C., Andrieu B. 2019. Investigation of complex canopies with a functional structural plant model as exemplified by leaf inclination effect on the functioning of pure and mixed stands of wheat during grain filling. *Annals of Botany*, 123 (4) : p. 727-742. <https://doi.org/10.1093/aob/mcy208>
5. → Bataille A., Kwiatek O., Belfkhi S., Mounier L., Parida S., Mahapatra M., Caron A., Chubwa C.C., Keyyu J., Kock R., Jones B.A., Libeau G. 2019. Optimization and evaluation of a non-invasive tool for peste des petits ruminants surveillance and control. *Scientific Reports*, 9 : 8 p. <https://doi.org/10.1038/s41598-019-41232-y>
6. → Baurens F.C., Martin G., Hervouet C., Salmon F., Yohomé D., Ricci S., Rouard M., Habas R., Lemainque A., Yahiaoui N., D'Hont A. 2019. Recombination and large structural variations shape interspecific edible bananas genomes. *Molecular*

Constats :

- ✓ Toutes les chaînes de caractères, qui sont identifiées par Word comme des paragraphes, sont numérotées
- ✓ Certains paragraphes correspondent à des titres ou à des sous-titres

Les opérations suivantes sont consacrées aux réajustements de cette première numérotation.

Etape 3 : Réajustements

Rétablir les espaces entre chaque paragraphe

Lorsque la liste vient d'être numérotée et qu'elle est encore sélectionnée dans sa totalité

- ✓ Clic contextuel (droit ou gauche selon votre paramétrage)
- ✓ Sélection de l'option "Paragraphe"
- ✓ Paramétrage de vos espacements

The image shows a document editor interface with a list of references on the left and a 'Paragraphe' dialog box on the right. The dialog box is open to the 'Retrait et espacement' tab. The 'Espacement' section is highlighted with a red circle, showing the 'Après' field set to 6. The 'Aperçu' section shows a preview of the text with paragraph spacing.

1. Articles de revues à facteur d'impact

2. 2019

3. Akoutou Mvondo E., Ndo E.G.D., Ngo Bieng M.A., Ambang Z., Bella Manga, Cilas C., Tsouga Manga M.L., Bidzanga Nomo L. 2019. Assessment of the interaction between the spatial organization of citrus trees populations in cocoa agroforests and *Phytophthora* foot rot disease of citrus severity. *AgroForestry Systems*, 93 (2) : p. 493-502. <https://doi.org/10.1007/s10457-017-0140-3>

4. Barillot R., Chambon C., Fournier C., Combes D., Pradal C., Andrieu B. 2019. Investigation of complex canopies with a functional structural plant model as exemplified by leaf inclination effect on the functioning of pure and mixed stands of wheat during grain filling. *Annals of Botany*, 123 (4) : p. 727-742. <https://doi.org/10.1093/aob/mcy208>

5. Bataille A., Kwiatek O., Belfkhi S., Mounier L., Parida S., Mahapatra M., Caron A., Chubwa C.C., Keyyu J., Kock R., Jones B.A., Libeau G. 2019. Optimization and evaluation of a non-invasive tool for peste des petits ruminants surveillance and control. *Scientific Reports*, 9 : 8 p. <https://doi.org/10.1038/s41598-019-41232-y>

6. Baurens F.C., Martin G., Hervouet C., Salmon F., Yohomé D., Ricci S., Rouard M., Habas R., Lemainque A., Yahiaoui N., D'Hont A. 2019. Recombination and large structural variations shape interspecific edible bananas genomes. *Molecular Biology and Evolution*, 36 (1) : p. 97-111. <https://doi.org/10.1093/molbev/msy199>

7. Bennouna A., Gil P., El Rhaffouli H., Exbrayat A., Loire E., Balenghien T., Chlyeh G., Gutierrez S., Fassi-Fihri O. 2019. Identification of Eilat virus and prevalence of infection among *Culex pipiens* L. populations, Morocco, 2016. *Virology*, 530 : p. 85-88. <https://doi.org/10.1016/j.virol.2019.02.007>

8. Boucher F., Moutroifi Y.O., Soulé M., Charafouddine O., Cetre-Sossah C., Cardinale E. 2019. Impact of East Coast fever on Grande Comore: Assessment taking a participatory epidemiology approach. *Tropical Animal Health and Production*, 51 (1) : p. 99-107. <https://doi.org/10.1007/s11250-018-1664-x>

9. Burgarella C., Barni M., Vigouroux Y., Bertoni M., Bataille A., Chubwa C.C., Keyyu J., Kock R., Jones B.A., Libeau G. 2019. Optimization and evaluation of a non-invasive tool for peste des petits ruminants surveillance and control. *Scientific Reports*, 9 : 8 p. <https://doi.org/10.1038/s41598-019-41232-y>

10. 2018

11. Abul-Sood M.I., Gadallah N.S., Hossni M.T., Delvare G. 2018. The subfamily entrinae (Hymenoptera: Chalcididae): reappraisal of their morphological characters and review of the West Palearctic species, with the description of two new species. *Zootaxa*, 4382 (1) : p. 1-14. <https://doi.org/10.11646/zootaxa.4382.1.1>

Paragraphe

Retrait et espacement Enchaînements

Général

Alignement : []

Niveau hiérarchique : [] [] Toujours réduit

Retrait

Intérieur : [] De []re ligne : [] De : []

Extérieur : []

Retrait inversés

Espacement

Avant : [] Interligne : [] De : []

Après : [6]

Ne pas ajouter d'espace entre les paragraphes du même style

Aperçu

Paragraphe précédent Paragraphe précédent Paragraphe précédent Paragraphe précédent

Paragraphe précédent Paragraphe précédent Paragraphe précédent Paragraphe précédent

Articles de revues à facteur d'impact

Paragraphe suivant Paragraphe suivant Paragraphe suivant Paragraphe suivant

Tabulations... Définir par défaut OK Annuler

Les références sont automatiquement renumérotées lorsque les numéros des titres et des sous-titres sont supprimés

Avant :

▀ 1. → Articles de revues à facteur d'impact

2. → 2019

3. → Akoutou-Mvondo E., Ndo E.G.D., Ngo-Bieng M.A., Ambang Z., Bella-Manga, Cilas C., Tsouga-Manga M.L., Bidzanga-Nomo L. 2019. Assessment of the interaction between the spatial organization of citrus trees populations in cocoa agroforests and *Phytophthora* foot rot disease of citrus severity. *AgroForestry Systems*, **93** (2) : p. 493-502. <https://doi.org/10.1007/s10457-017-0140-3>

4. → Barillot R., Chambon C., Fournier C., Combes D., Pradal C., Andrieu B. 2019. Investigation of complex canopies with a functional structural plant model as exemplified by leaf inclination effect on the functioning of pure and mixed stands of wheat during grain filling. *Annals of Botany*, **123** (4) : p. 727-742. <https://doi.org/10.1093/aob/mcy208>

5. → Bataille A., Kwiatak O., Belfkhi A., Chubwa C.C., Keyyu J., Ko and evaluation of a non-invasive control. *Scientific Reports*, **9** : 8. <https://doi.org/10.1038/s41598-0>

6. → Baurens F.C., Martin G., Hervé M., Habas R., Lemainque A., Y large structural variations shape *Biology and Evolution*, **36** (1) : p. <https://doi.org/10.1093/molbev/n>

7. → Bennouna A., Gil P., El-Rhaffo G., Gutierrez S., Fassi-Fihri O. infection among *Culex pipiens* L.

▀ Articles de revues à facteur d'impact

2019

1. → Akoutou-Mvondo E., Ndo E.G.D., Ngo-Bieng M.A., Ambang Z., Bella-Manga, Cilas C., Tsouga-Manga M.L., Bidzanga-Nomo L. 2019. Assessment of the interaction between the spatial organization of citrus trees populations in cocoa agroforests and *Phytophthora* foot rot disease of citrus severity. *AgroForestry Systems*, **93** (2) : p. 493-502. <https://doi.org/10.1007/s10457-017-0140-3>

2. → Barillot R., Chambon C., Fournier C., Combes D., Pradal C., Andrieu B. 2019. Investigation of complex canopies with a functional structural plant model as exemplified by leaf inclination effect on the functioning of pure and mixed stands of wheat during grain filling. *Annals of Botany*, **123** (4) : p. 727-742. <https://doi.org/10.1093/aob/mcy208>

3. → Bataille A., Kwiatak O., Belfkhi S., Mounier L., Parida S., Mahapatra M., Caron A., Chubwa C.C., Keyyu J., Kock R., Jones B.A., Libeau G. 2019. Optimization and evaluation of a non-invasive tool for peste des petits ruminants surveillance and control. *Scientific Reports*, **9** : 8 p. <https://doi.org/10.1038/s41598-019-41232-y>

4. → Baurens F.C., Martin G., Hervouet C., Salmon F., Yohomé D., Ricci S., Rouard M., Habas R., Lemainque A., Yahiaoui N., D'Hont A. 2019. Recombination and large structural variations shape interspecific edible bananas genomes. *Molecular*

Après :

Réappliquer les styles de titres et sous-titres

▀ Articles de revues à facteur d'impact

▀ 2019

1. → Akoutou-Mvondo E., Ndo E.G.D., Ngo-Bieng M.A., Ambang Z., Bella-Manga, Cilas C., Tsouga-Manga M.L., Bidzanga-Nomo L. 2019. Assessment of the interaction between the spatial organization of citrus trees populations in cocoa agroforests and *Phytophthora* foot rot disease of citrus severity. *AgroForestry Systems*, **93** (2) : p. 493-502. <https://doi.org/10.1007/s10457-017-0140-3>

2. → Barillot R., Chambon C., Fournier C., Combes D., Pradal C., Andrieu B. 2019. Investigation of complex canopies with a functional structural plant model as exemplified by leaf inclination effect on the functioning of pure and mixed stands of wheat during grain filling. *Annals of Botany*, **123** (4) : p. 727-742. <https://doi.org/10.1093/aob/mcy208>

3. → Bataille A., Kwiatak O., Belfkhi S., Mounier L., Parida S., Mahapatra M., Caron A., Chubwa C.C., Keyyu J., Kock R., Jones B.A., Libeau G. 2019. Optimization and evaluation of a non-invasive tool for peste des petits ruminants surveillance and control. *Scientific Reports*, **9** : 8 p. <https://doi.org/10.1038/s41598-019-41232-y>

4. → Baurens F.C., Martin G., Hervouet C., Salmon F., Yohomé D., Ricci S., Rouard M., Habas R., Lemainque A., Yahiaoui N., D'Hont A. 2019. Recombination and large structural variations shape interspecific edible bananas genomes. *Molecular*

La suppression ou le déplacement d'une référence s'accompagne d'une renumérotation de la liste à partir du point de modification

Avant :

1. → Akoutou-Mvondo-E., Ndo-E.G.D., Ngo-Bieng-M.A., Ambang-Z., Bella-Manga, Cilas-C., Tsouga-Manga-M.L., Bidzanga-Nomo-L. 2019. Assessment of the interaction between the spatial organization of citrus trees populations in cocoa agroforests and *Phytophthora* foot rot disease of citrus severity. *AgroForestry Systems*, **93** (2) : p. 493-502. ↵
<https://doi.org/10.1007/s10457-017-0140-3>¶
2. → Barillot-R., Chambon-C., Fournier-C., Combes-D., Pradal-C., Andrieu-B. 2019. Investigation of complex canopies with a functional structural plant model as exemplified by leaf inclination effect on the functioning of pure and mixed stands of wheat during grain filling. *Annals of Botany*, **123** (4) : p. 727-742. ↵
<https://doi.org/10.1093/aob/mcy208>¶
3. → Bataille-A., Kwiatek-O., Belfkhi-S., Mounier-L., Parida-S., Mahapatra-M., Caron-A., Chubwa-C.C., Keyyu-J., Kock-R., Jones-B.A., Libeau-G. 2019. Optimization and evaluation of a non-invasive tool for peste des petits ruminants surveillance and control. *Scientific Reports*, **9** : 8 p. ↵
<https://doi.org/10.1038/s41598-019-41232-y>¶
4. → Baurens-F.C., Martin-G., Hervouet-C., Salmon-F., Yohomé-D., Ricci-S., Rouard-M., Habas-R., Lemainque-A., Yahiaoui-N., D'Hont-A. 2019. Recombination and large structural variations shape interspecific edible bananas genomes. *Molecular Biology and Evolution*, **36** (1) : p. 97-111. ↵
<https://doi.org/10.1093/molbev/msy199>¶
5. → Bennouna-A., Gil-P., El-Rhaffouli-H., Exbrayat-A., Loire-E., Balenghien-T., Chlyeh-G., Gutierrez-S., Fassi-Fihri-O. 2019. Identification of Eilat virus and prevalence of infection among *Culex pipiens*-L. populations, Morocco, 2016. *Virology*, **530** : p. 85-88. ↵
<https://doi.org/10.1016/j.virol.2019.02.007>¶

Après :

1. → Akoutou-Mvondo-E., Ndo-E.G.D., Ngo-Bieng-M.A., Ambang-Z., Bella-Manga, Cilas-C., Tsouga-Manga-M.L., Bidzanga-Nomo-L. 2019. Assessment of the interaction between the spatial organization of citrus trees populations in cocoa agroforests and *Phytophthora* foot rot disease of citrus severity. *AgroForestry Systems*, **93** (2) : p. 493-502. ↵
<https://doi.org/10.1007/s10457-017-0140-3>¶
2. → Barillot-R., Chambon-C., Fournier-C., Combes-D., Pradal-C., Andrieu-B. 2019. Investigation of complex canopies with a functional structural plant model as exemplified by leaf inclination effect on the functioning of pure and mixed stands of wheat during grain filling. *Annals of Botany*, **123** (4) : p. 727-742. ↵
<https://doi.org/10.1093/aob/mcy208>¶
3. → Baurens-F.C., Martin-G., Hervouet-C., Salmon-F., Yohomé-D., Ricci-S., Rouard-M., Habas-R., Lemainque-A., Yahiaoui-N., D'Hont-A. 2019. Recombination and large structural variations shape interspecific edible bananas genomes. *Molecular Biology and Evolution*, **36** (1) : p. 97-111. ↵
<https://doi.org/10.1093/molbev/msy199>¶
4. → Bennouna-A., Gil-P., El-Rhaffouli-H., Exbrayat-A., Loire-E., Balenghien-T., Chlyeh-G., Gutierrez-S., Fassi-Fihri-O. 2019. Identification of Eilat virus and prevalence of infection among *Culex pipiens*-L. populations, Morocco, 2016. *Virology*, **530** : p. 85-88. ↵
<https://doi.org/10.1016/j.virol.2019.02.007>¶
5. → Boucher-F., Moutroifi-Y.O., Soulé-M., Charafouddine-O., Cetre-Sossah-C., Cardinale-E. 2019. Impact of East Coast fever on Grande Comore: Assessment taking a participatory epidemiology approach. *Tropical Animal Health and Production*, **51** (1) : p. 99-107. ↵
<https://doi.org/10.1007/s11250-018-1664-x>¶

La renumérotation de la liste peut être envisagée à partir de différents points de la liste

Par exemple, à l'occasion d'un changement de chapitre

5. → **Boucher-F., Moutroifi-Y.O., Soulé-M., Charafouddine-O., Cetre-Sossah-C., Cardinale-E.** 2019. Impact of East-Coast-fever on Grande-Comore: Assessment taking a participatory epidemiology approach. *Tropical Animal Health and Production*, **51** (1): p. 99-107. ↵
<https://doi.org/10.1007/s11250-018-1664-x>
6. → **Burgarella-C., Barnaud-A., Kane-N.A., Jankowski-F., Scarcelli-N., Billot-C., Vigouroux-Y., Berthouly-Salazar-C.** 2019. Adaptive introgression: An untapped evolutionary mechanism for crop adaptation. *Frontiers in Plant Science*, **10**: 17 p. ↵
<https://doi.org/10.3389/fpls.2019.00004>

2018 ¶

7. → **Abul-Sood-M.I., Gadallah-N.S., Hossni-M.T., Delvare-G.** 2018. The subfamily Cratocentrinae (Hymenoptera: Chalcididae): reappraisal of their morphological characters and review of the West-Palaeartic species, with the description of two new species. *Zootaxa*, **4377** (4): p. 490-516. ↵
<https://doi.org/10.11646/zootaxa.4377.4.2>
8. → **Adam-M., Dzotsi-K.A., Hoogenboom-G., Traoré-P.C.S., Porter-C.H., Nebie-B., Leiser-W.L., Weltzien-E., Jones-J.W.** 2018. Modelling varietal differences in response to phosphorus in West-African sorghum. *European Journal of Agronomy*, **100**: p. 35-43. ↵
<https://doi.org/10.1016/j.eja.2018.04.001>

Clic contextuel,
dans cet exemple,
sur le numéro 7

Puis, option
"Redémarrer à 1"

6. → **Burgarella-C., Barnaud-A., Kane-N.A., Jankowski-F., Scarcelli-N., Billot-C., Vigouroux-Y., Berthouly-Salazar-C.** 2019. Adaptive introgression: An untapped evolutionary mechanism for crop adaptation. *Frontiers in Plant Science*, **10**: 17 p. ↵
<https://doi.org/10.3389/fpls.2019.00004>

7. → **Abul-Sood-M.I., Gadallah-N.S., Hossni-M.T., Delvare-G.** 2018. The subfamily Cratocentrinae (Hymenoptera: Chalcididae): reappraisal of their morphological characters and review of the West-Palaeartic species, with the description of two new species. *Zootaxa*, **4377** (4): p. 490-516. ↵
<https://doi.org/10.11646/zootaxa.4377.4.2>

8. → **Adam-M., Dzotsi-K.A., Hoogenboom-G., Traoré-P.C.S., Porter-C.H., Nebie-B., Leiser-W.L., Weltzien-E., Jones-J.W.** 2018. Modelling varietal differences in response to phosphorus in West-African sorghum. *European Journal of Agronomy*, **100**: p. 35-43. ↵
<https://doi.org/10.1016/j.eja.2018.04.001>

9. → **Afelt-A., Frutos-R., Devaux-C.** 2018. Bats, corona the emergence of novel infectious diseases?. *Frontiers in Microbiology*, **9**: 1-10. ↵
<https://doi.org/10.3389/fmicb.2018.00702>

2018 ¶

1. → **Abul-Sood-M.I., Gadallah-N.S., Hossni-M.T., Delvare-G.** 2018. The subfamily Cratocentrinae (Hymenoptera: Chalcididae): reappraisal of their morphological characters and review of the West-Palaeartic species, with the description of two new species. *Zootaxa*, **4377** (4): p. 490-516. ↵
<https://doi.org/10.11646/zootaxa.4377.4.2>
2. → **Adam-M., Dzotsi-K.A., Hoogenboom-G., Traoré-P.C.S., Porter-C.H., Rattunde-F., Nebie-B., Leiser-W.L., Weltzien-E., Jones-J.W.** 2018. Modelling varietal differences in response to phosphorus in West-African sorghum. *European Journal of Agronomy*, **100**: p. 35-43. ↵
<https://doi.org/10.1016/j.eja.2018.04.001>

Corriger le style des sauts de ligne ou des sauts de paragraphe

La référence n. 16 est divisée en deux paragraphes car un 'saut de paragraphe' est enregistré à la place d'un 'saut manuel de ligne'

15. Badigannavar A., Teme N., Costa de Oliveira A., Li G., Vaksman Viana V., Ganapathi T.R., Sarsu F. 2018. Physiological, genetic and molecular basis of drought-resilience in sorghum [*Sorghum bicolor* (L.) Moench]. *Indian Journal of Plant Physiology*, **23**(4): p. 670-688. ↵
<https://doi.org/10.1007/s40502-018-0416-2> ¶

16. Charrier F., Rossi S., Jori F., Maestrini O., Richomme C., Casabianca F., Ducrot C., Jouve J., Pavio N., Le Potier M.F. 2018. Aujeszky's disease and hepatitis E viruses transmission between domestic pigs and wild boars in Corsica: Evaluating the importance of wild/domestic interactions and the efficacy of management measures. *Frontiers in Veterinary Science*, **5**(1): 11 p. ¶

17. <https://doi.org/10.3389/fvets.2018.00001> ¶

Correction :

- 1- Supprimer le 'saut de paragraphe' erroné

16. Charrier F., Rossi S., Jori F., Maestrini O., Richomme C., Casabianca F., Ducrot C., Jouve J., Pavio N., Le Potier M.F. 2018. Aujeszky's disease and hepatitis E viruses transmission between domestic pigs and wild boars in Corsica: Evaluating the importance of wild/domestic interactions and the efficacy of management measures. *Frontiers in Veterinary Science*, **5**(1): 11 p. <https://doi.org/10.3389/fvets.2018.00001> ¶

- 2- Saisir le caractère 'saut manuel de ligne' = combinaison des touches [Shift] + [Entrée]

15. Badigannavar A., Teme N., Costa de Oliveira A., Li G., Vaksman V., Ebeling Viana V., Ganapathi T.R., Sarsu F. 2018. Physiological, genetic and molecular basis of drought-resilience in sorghum [*Sorghum bicolor* (L.) Moench]. *Indian Journal of Plant Physiology*, **23**(4): p. 670-688. ↵
<https://doi.org/10.1007/s40502-018-0416-2> ¶

16. Charrier F., Rossi S., Jori F., Maestrini O., Richomme C., Casabianca F., Ducrot C., Jouve J., Pavio N., Le Potier M.F. 2018. Aujeszky's disease and hepatitis E viruses transmission between domestic pigs and wild boars in Corsica: Evaluating the importance of wild/domestic interactions and the efficacy of management measures. *Frontiers in Veterinary Science*, **5**(1): 11 p. ↵
<https://doi.org/10.3389/fvets.2018.00001> ¶

17. Chauvel B., Fried G., Monty A., Rossi J.P., Tassus X., Le Bourgeois T. 2018. Ambrosie trifide et à épis lisses deux poids, deux mesures. *Phytoma* (712): p. 47-51. ↵
<http://www.phytoma-ldv.com/article-24378-Ambrosie-trifide-et-a-epis-lisses-deux-poids-deux-mesures> ¶

Si des corrections multiples devaient être envisagées, noter la codification de ces sauts :

Saut de paragraphe : ^p = accent circonflexe + lettre P en minuscule

Saut manuel de ligne : ^l = accent circonflexe + lettre L en minuscule